



3SAT → VC



Jaime Armas Rivero



Helena García Díaz



Daniel García Hernández



Andrés Pérez Castellano



Diego Pérez García

Grupo 5

Complejidad Computacional

Ingeniería Informática ULL

ÍNDICE

Introducción

Transformación de 3SAT a VC

Código

Demostración de NP-completitud

Bibliografía

1

INTRODUCCIÓN



NP-Compleitud

Tanto el Vertex Cover como el 3SAT son ejemplos de problemas NP-completos.

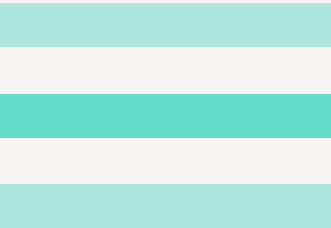
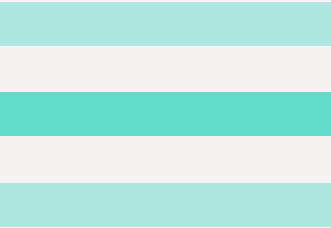
Sabemos que lo son porque hay otros problemas que son NP-Completos y son polinomialmente reducibles a él.

Vertex Cover

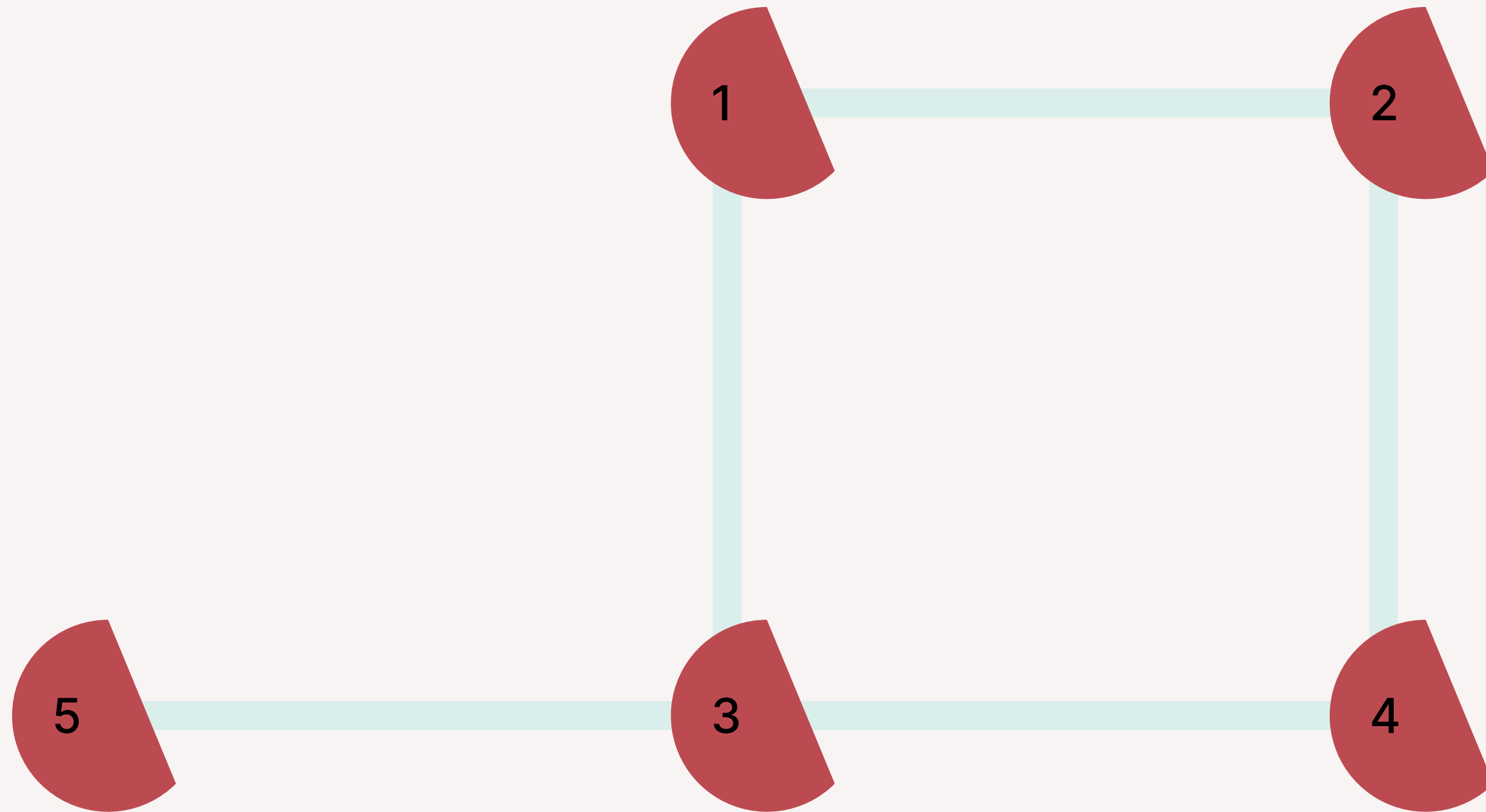
Conjunto de vértices tales que cada arista del grafo incide en al menos un vértice del conjunto.

3-SAT

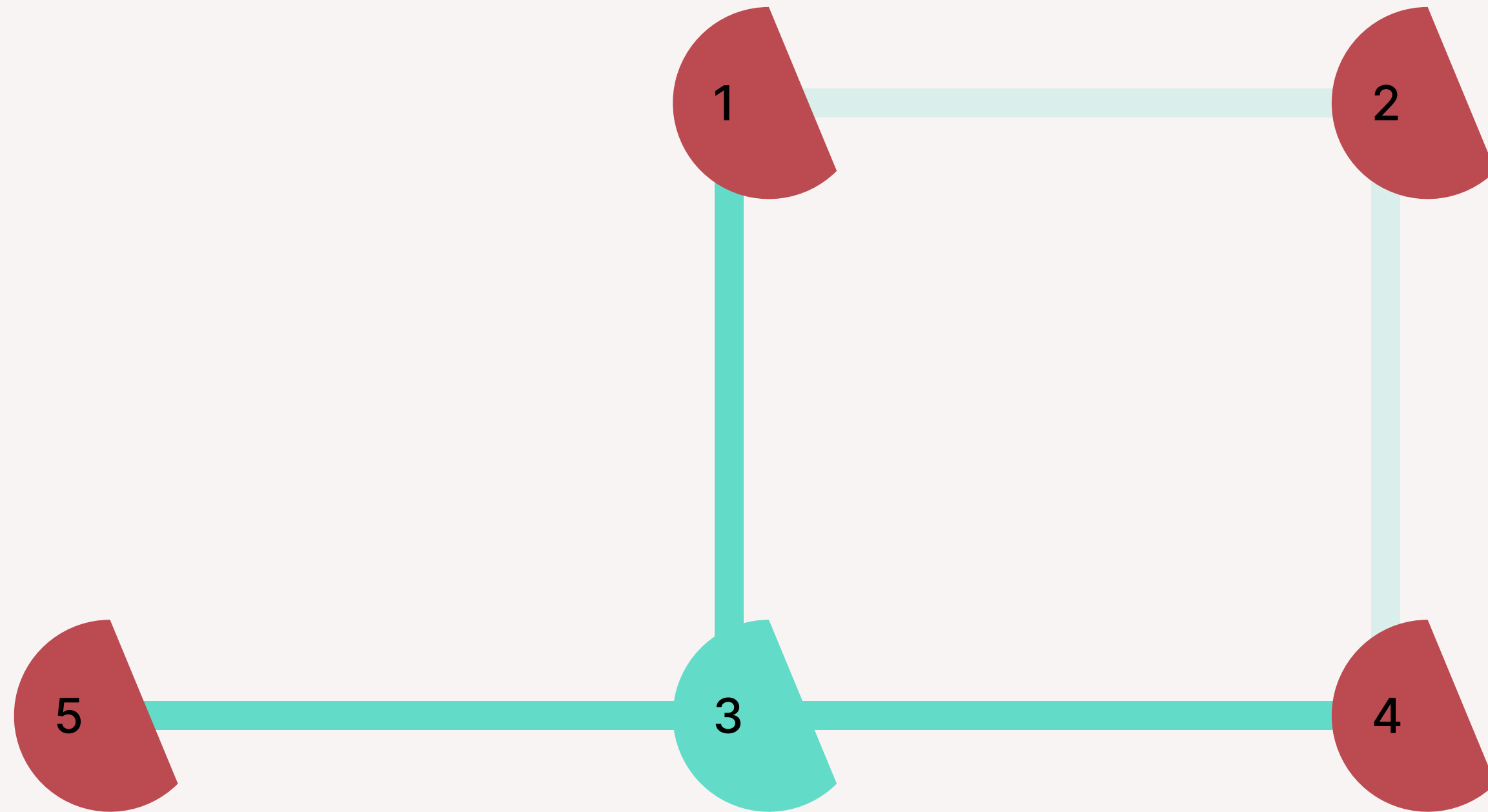
Dada una expresión booleana, hay alguna asignación de valores para sus variables que la hace verdadera, donde cada cláusula contiene 3 literales.



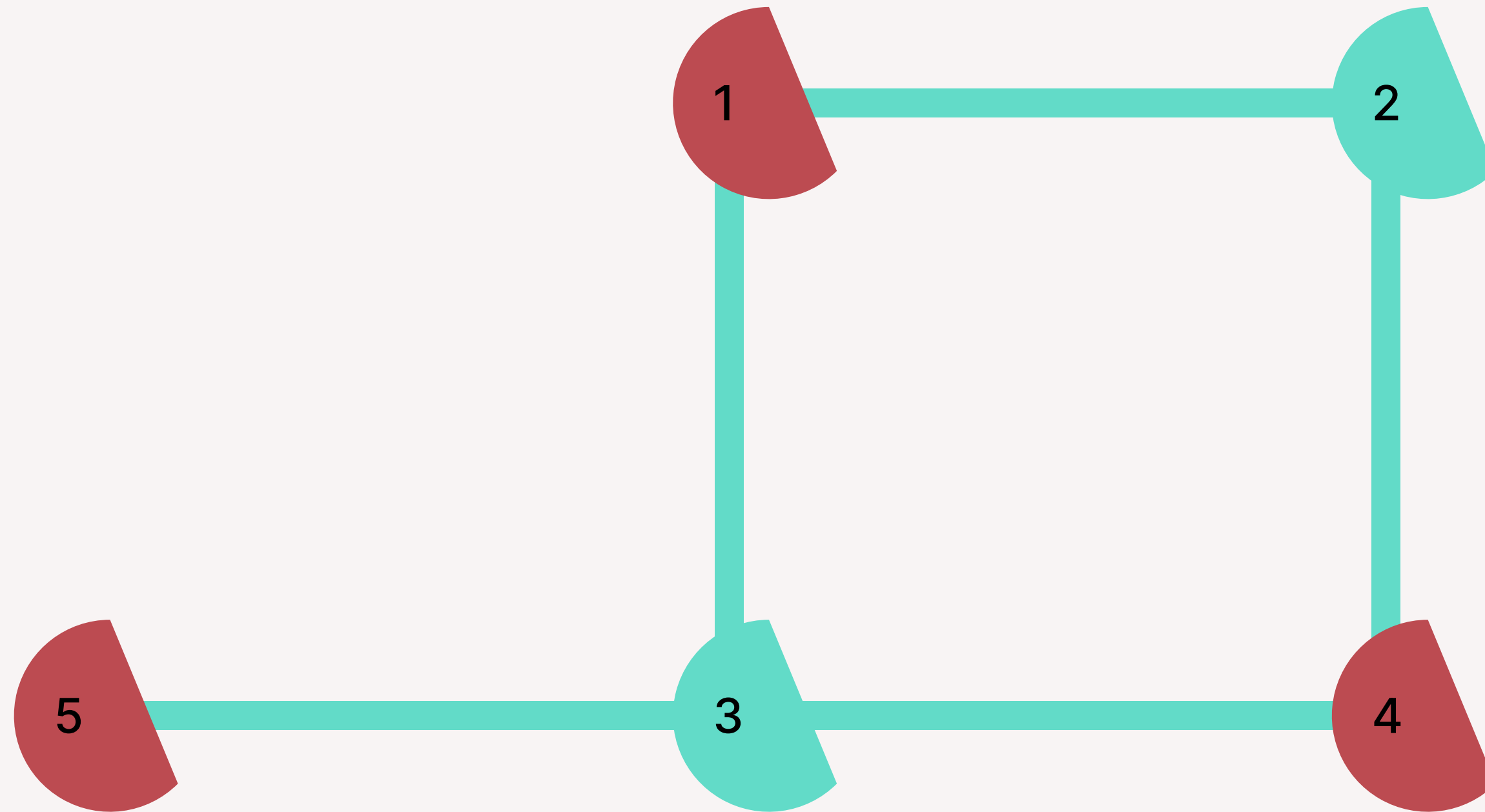
Ejemplo de Resolución del VC



Ejemplo de Resolución del VC



Ejemplo de Resolución del VC



Vertex Cover

Instancia: Un grafo $G = (V, E)$ no dirigido y un entero K .

Pregunta: ¿Existe una cobertura de vértices de tamaño K o menos para el grafo G , es decir, un subconjunto V' de V con tamaño menor que V tal que cada arista tiene al menos un extremo en V' ?

$$K = n + 2m$$

3-SAT

Instancia: Se establece un conjunto $U = \{u_1, u_2, \dots, u_n\}$, $|U| = n$ de variables y una colección

$C = \{c_1, c_2, \dots, c_m\}$, $|C| = m$ de cláusulas sobre U , de manera que cada cláusula $|c_i| = 3$, para $1 \leq i \leq m$

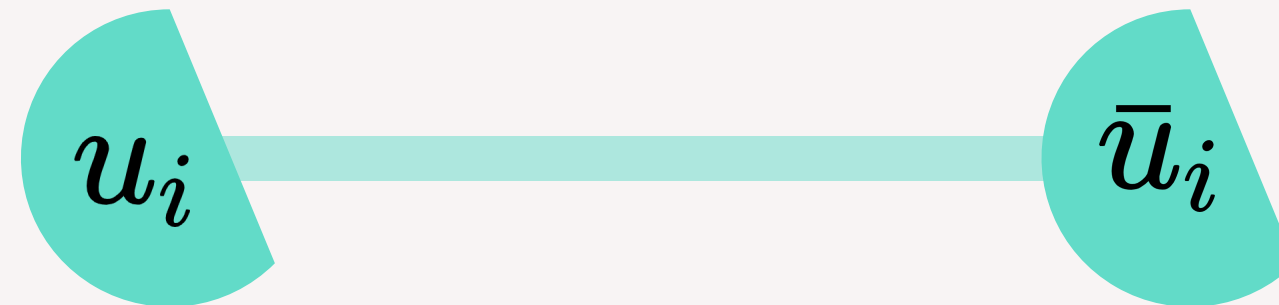
Pregunta: Hay una asignación de verdad para U tal que C es satisfacible

2

TRANSFORMACIÓN 3SAT A VC

Paso 1: Truth-setting components

$\forall u_i \in U$ se define una componente $T_i = \{V_i, E_i\}$
donde: $V_i = \{u_i, \bar{u}_i\}$ $E_i = \{\{u_i, \bar{u}_i\}\}$

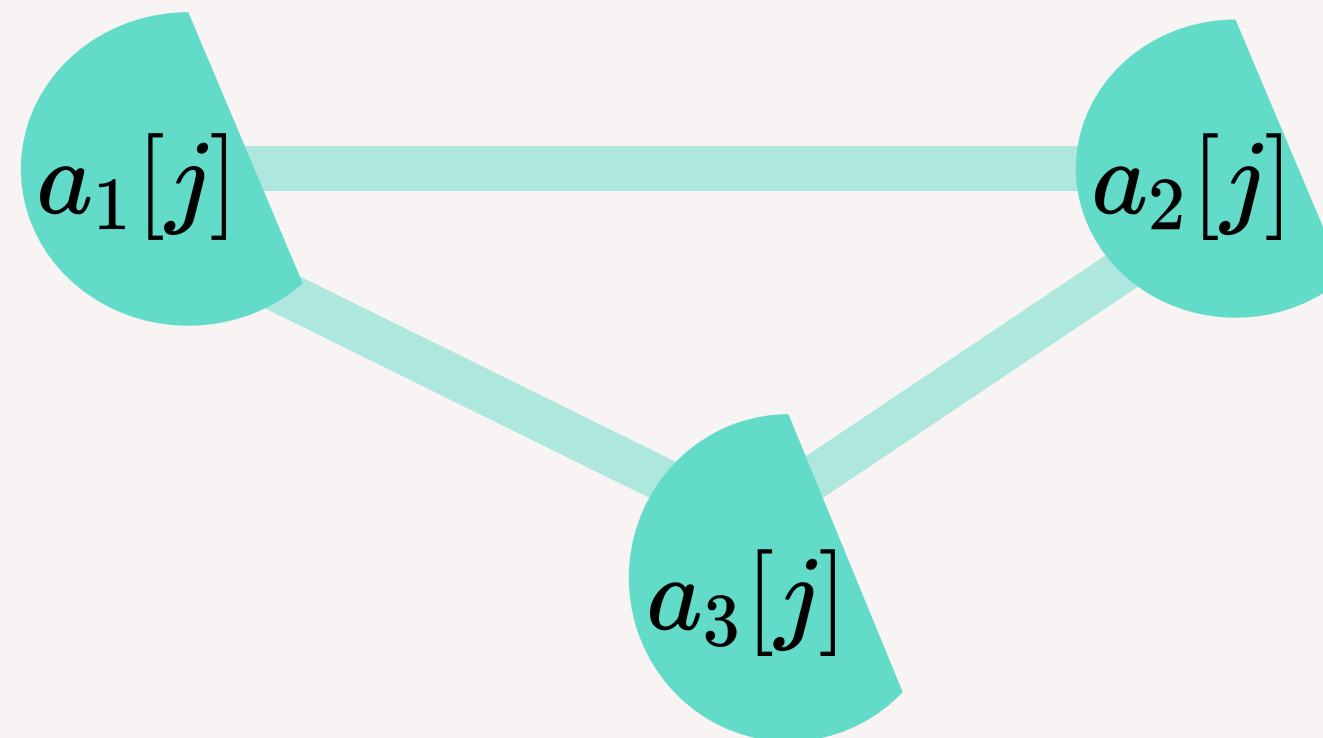


Paso 2: Satisfaction setting components

$\forall c_j \in C$ se define una componente $S_j = \{V'_j, E'_j\}$

donde: $V'_j = \{a_1[j], a_2[j], a_3[j]\}$

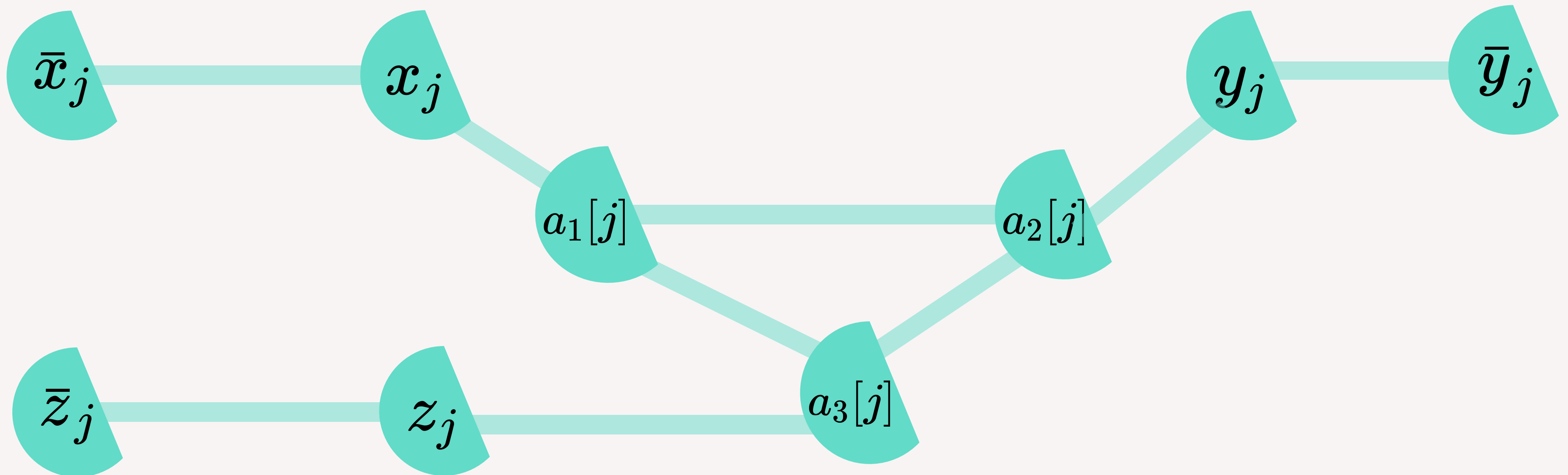
$E'_j = \{\{a_1[j], a_2[j]\}, \{a_1[j], a_3[j]\}, \{a_2[j], a_3[j]\}\}$



Paso 3: Aristas de comunicación

$\forall c_j \in C$ de la forma $c_j = \{x_j, y_j, z_j\}$ $x_j, y_j, z_j \in U$

$$E_j'' = \{\{a_1[j], x_j\}, \{a_2[j], y_j\}, \{a_3[j], z_j\}\}$$

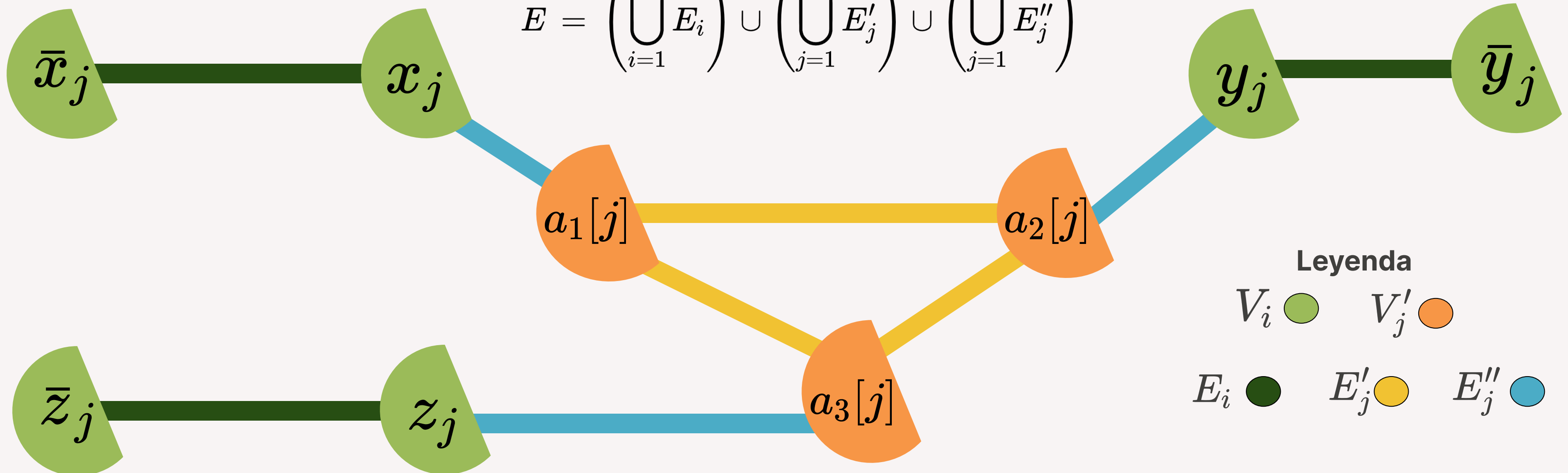


Resultado de la transformación

Tenemos el grafo no dirigido $G = (V, E)$ y la cota $K = n + 2m$

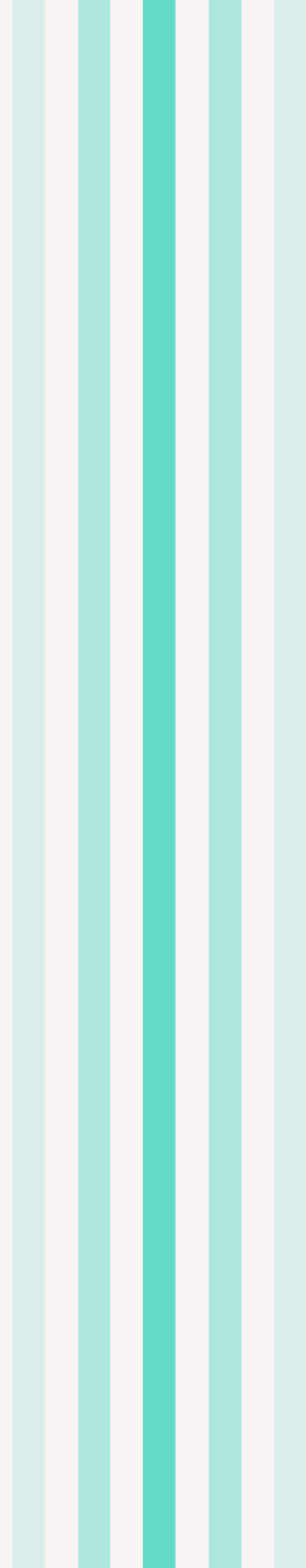
donde:

$$V = \left(\bigcup_{i=1}^n V_i \right) \cup \left(\bigcup_{j=1}^m V'_j \right)$$
$$E = \left(\bigcup_{i=1}^n E_i \right) \cup \left(\bigcup_{j=1}^m E'_j \right) \cup \left(\bigcup_{j=1}^m E''_j \right)$$



3

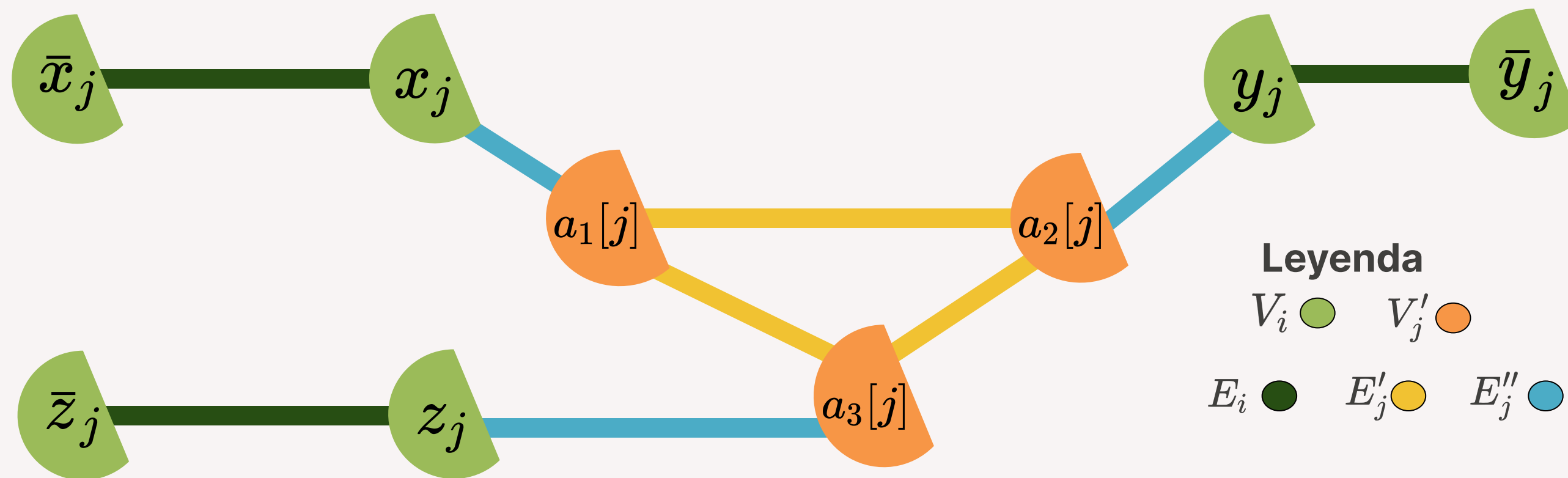
CÓDIGO



4

DEMOSTRACIÓN DE NP-COMPLETITUD

Tenemos que demostrar que C es satisfacible, sí y sólo sí $G=\{V, E\}$ tiene un cubrimiento de vértices de tamaño menor o igual a K .



Suponemos que $V' \subseteq V$ es un cubrimiento de vértices para G con $|V'| \leq K$.

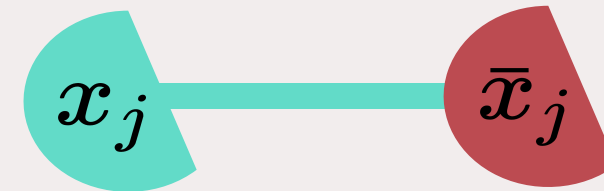
Recordemos que V' contiene al menos un vértice de cada T_i y al menos dos vértices de cada S_i .

Truth Settings Components

$$t : U \rightarrow \{T, F\}$$

$$t(u_i) = T$$

$$u_i \in V'$$

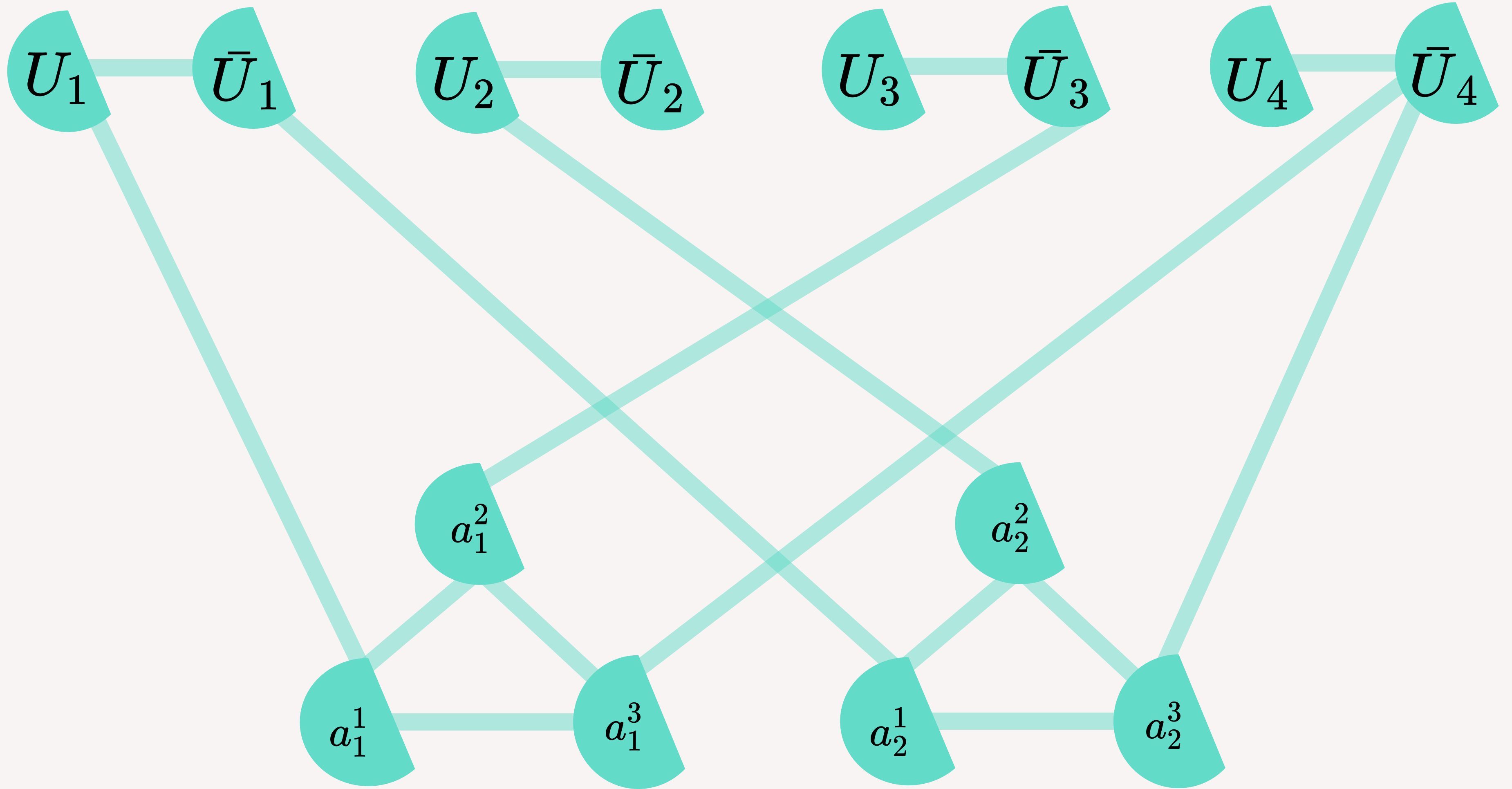


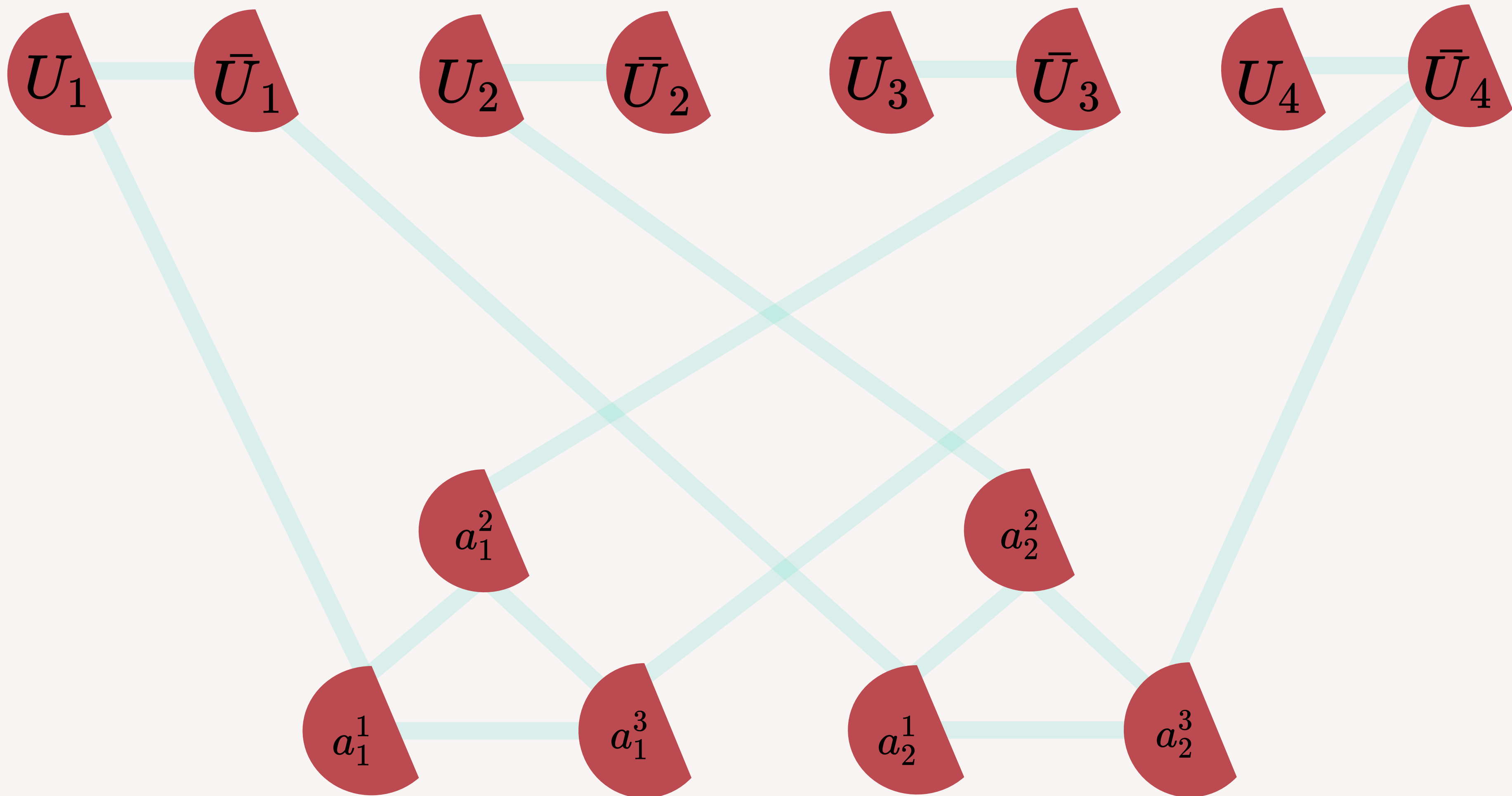
$$t(u_i) = F$$

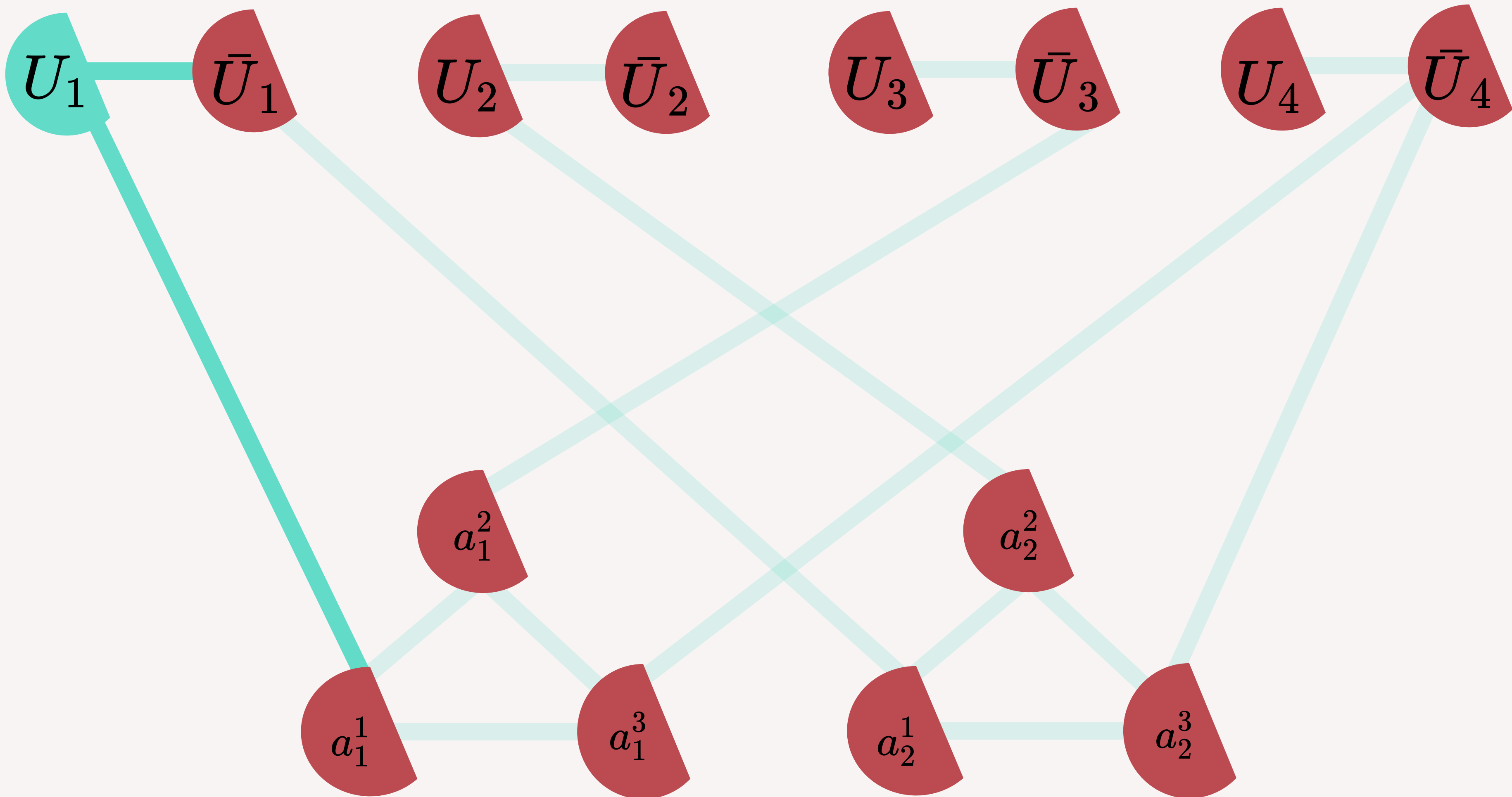
$$\bar{u}_i \in V'$$

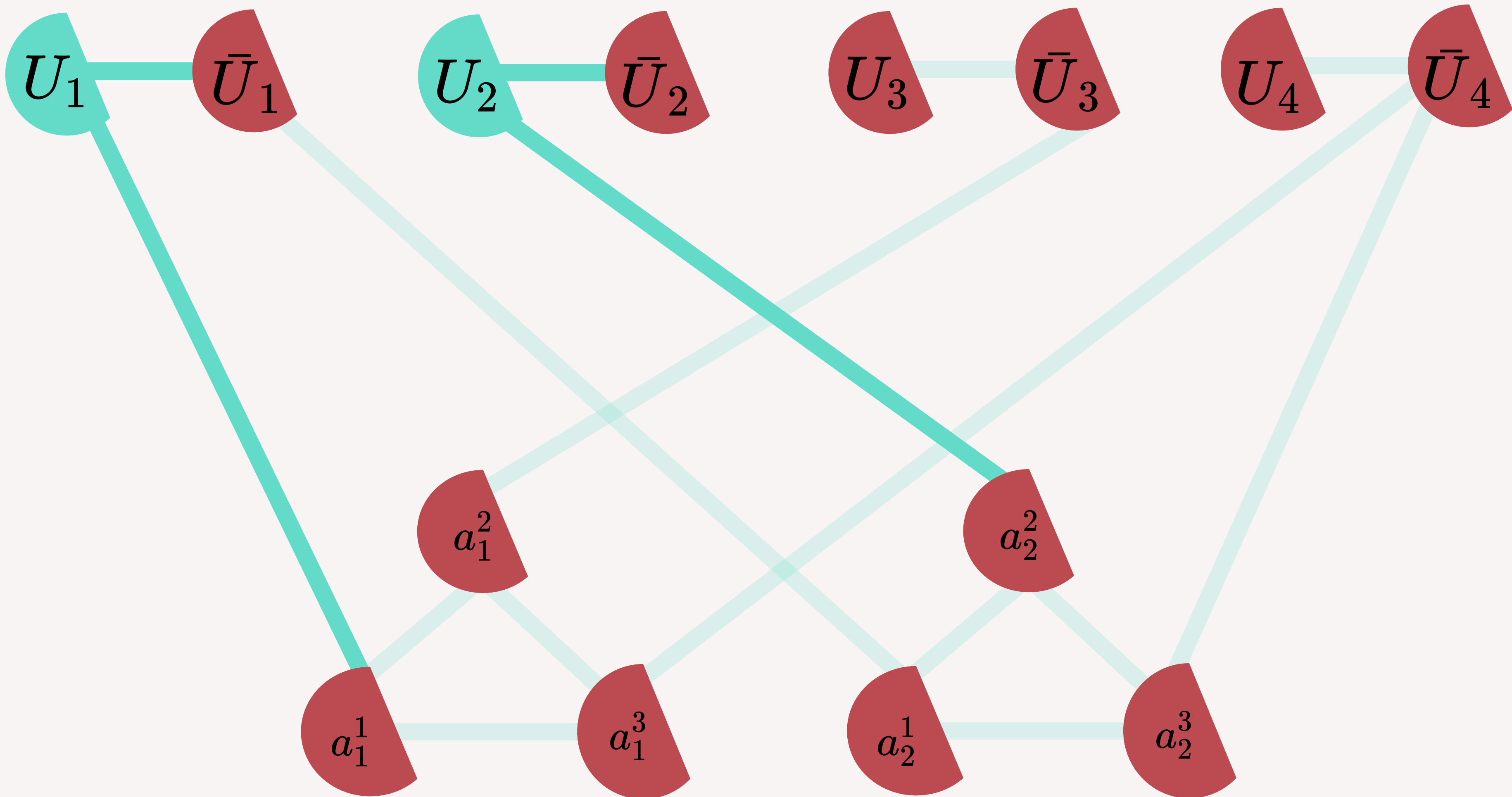


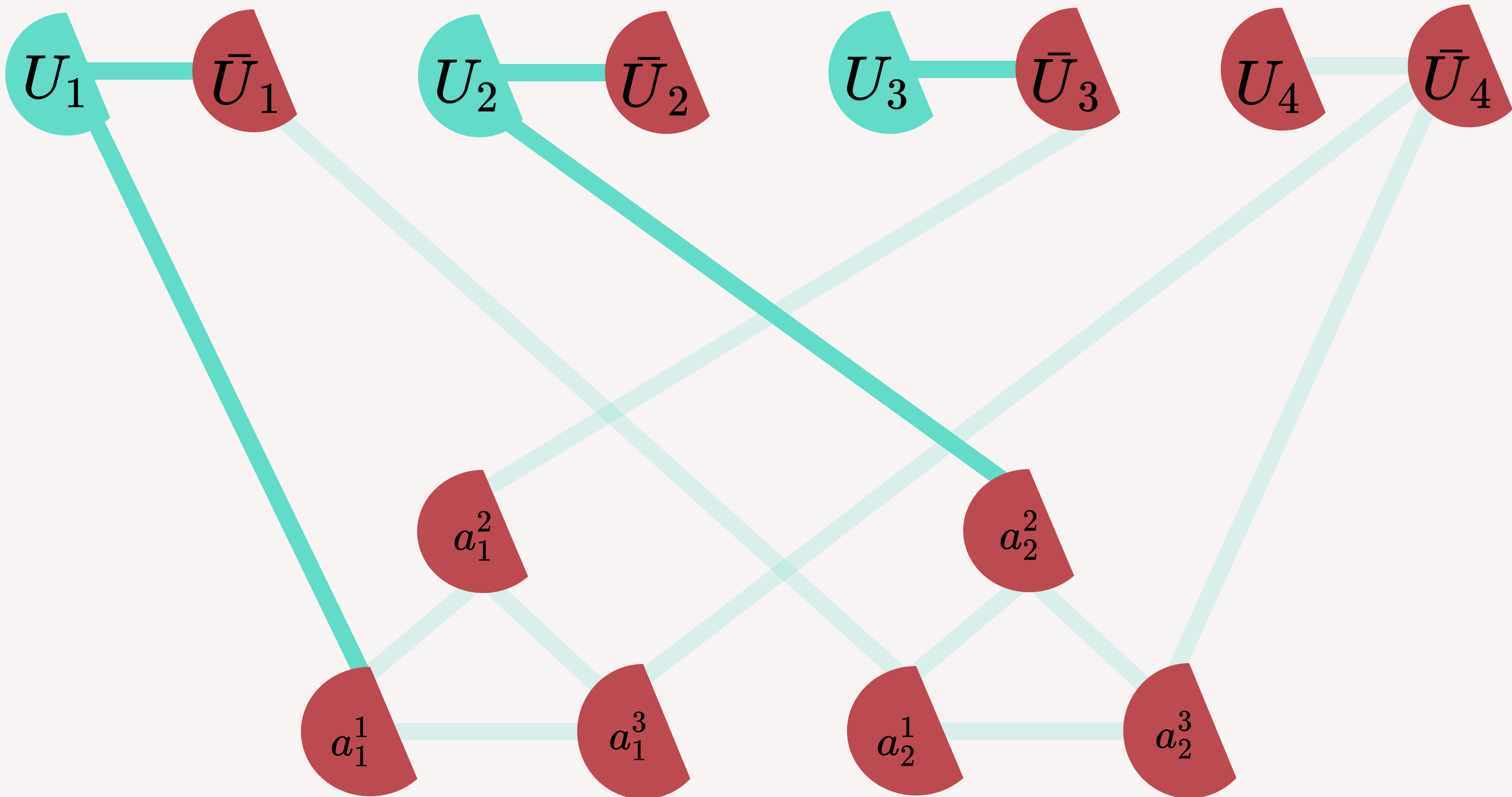
$$U = \{u_1, u_2, u_3, u_4\} \quad C = \{\{u_1, \bar{u}_3, \bar{u}_4\}, \{\bar{u}_1, u_2, \bar{u}_4\}\}$$

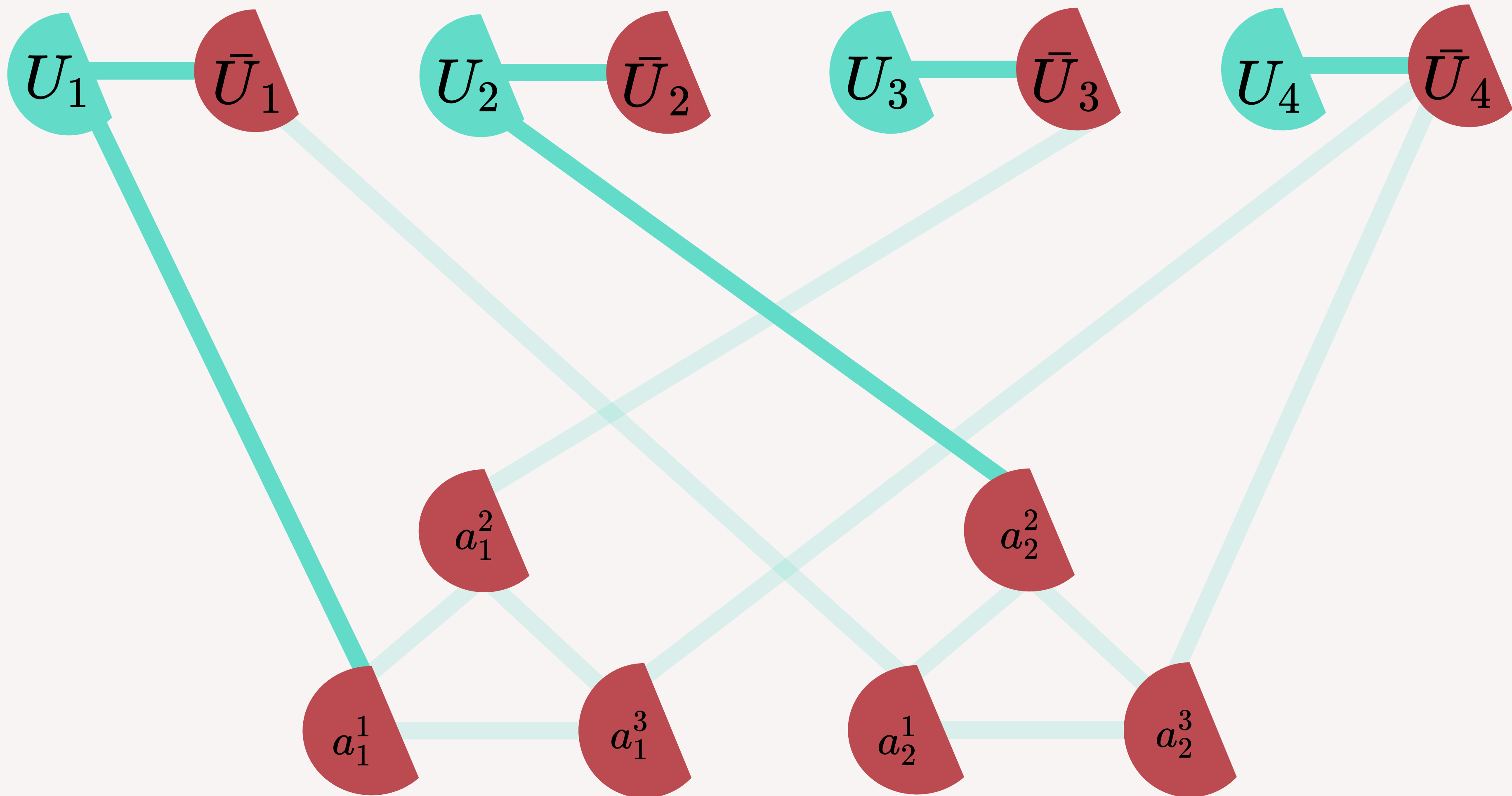


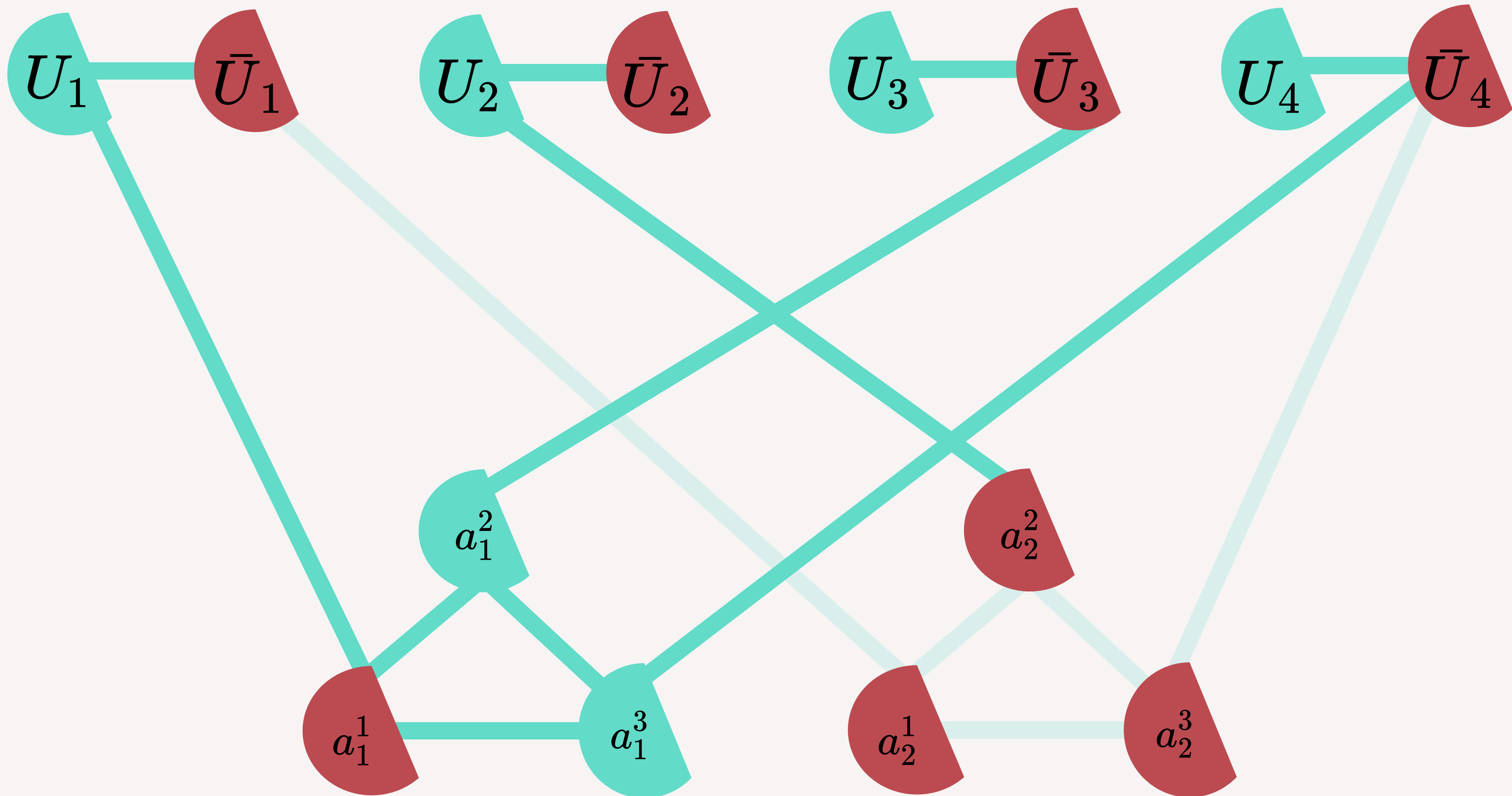


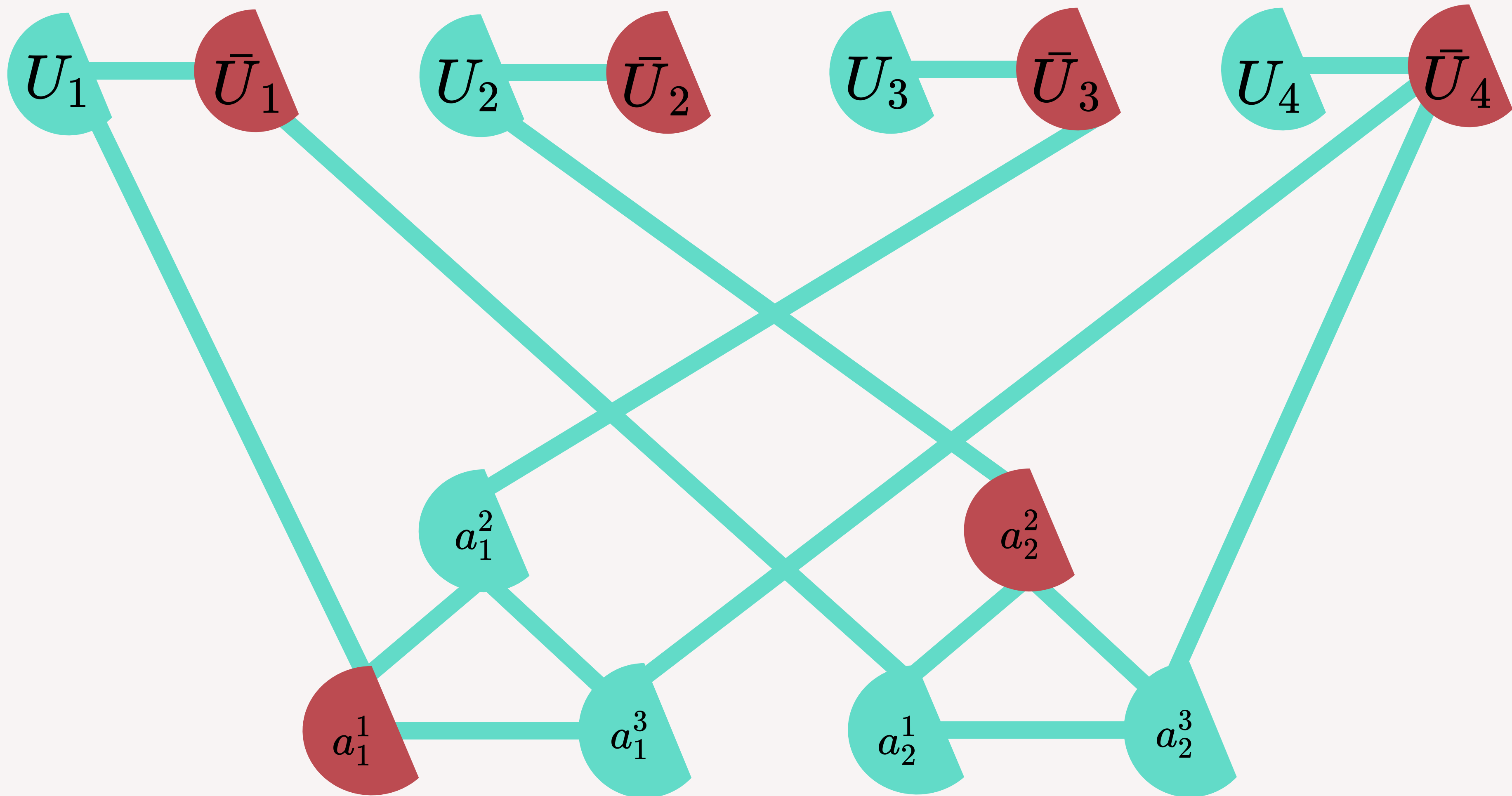


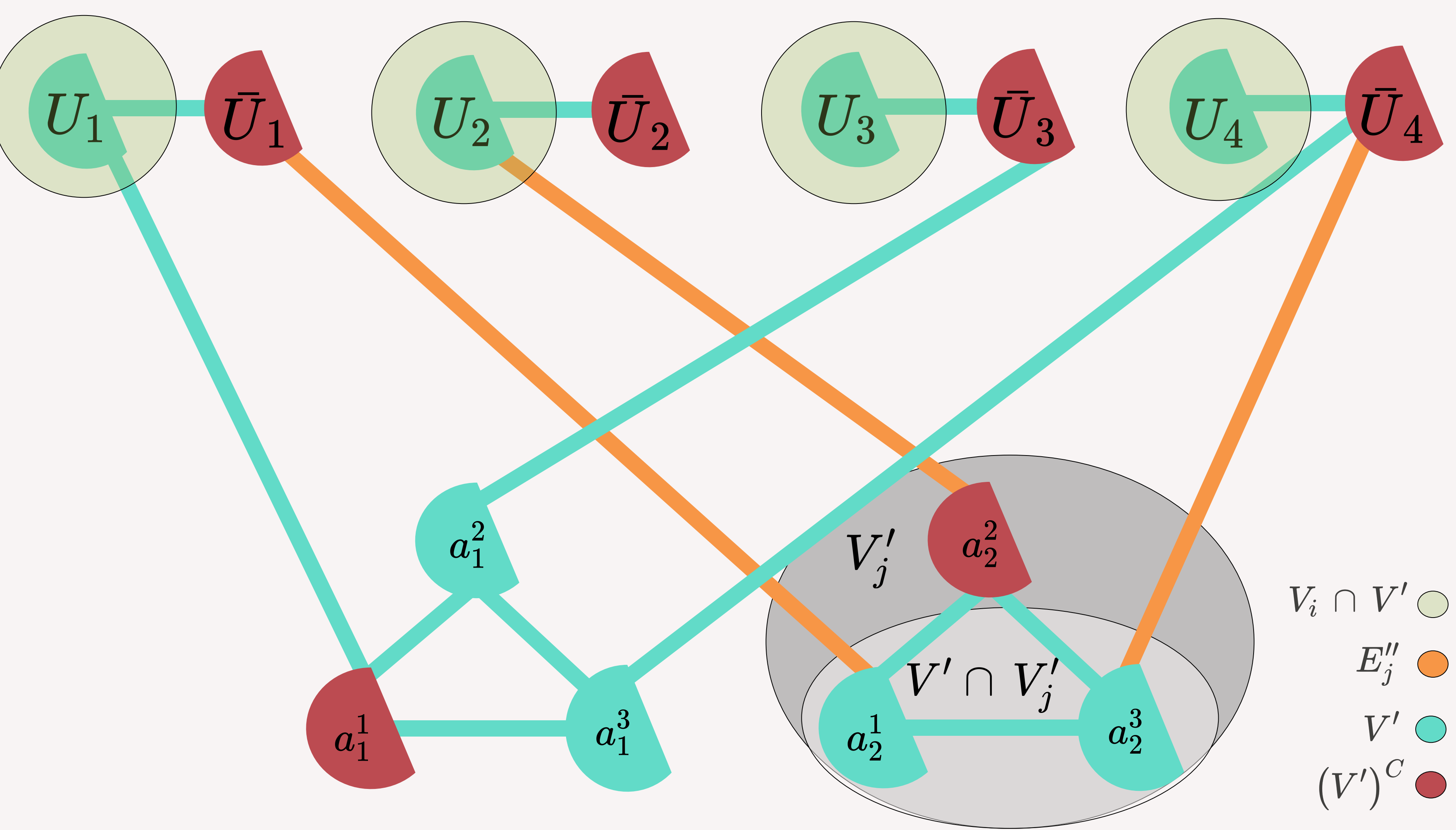


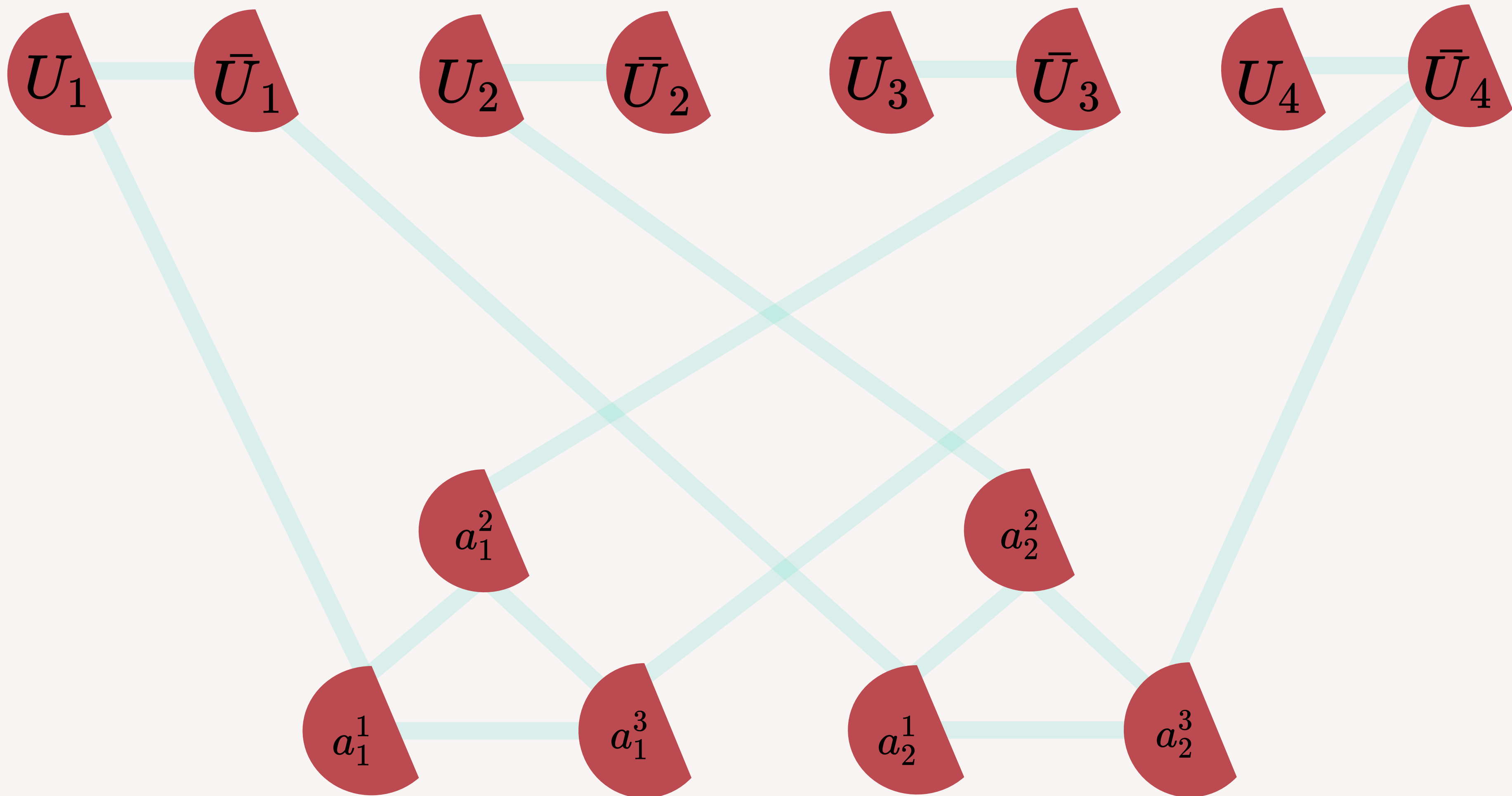


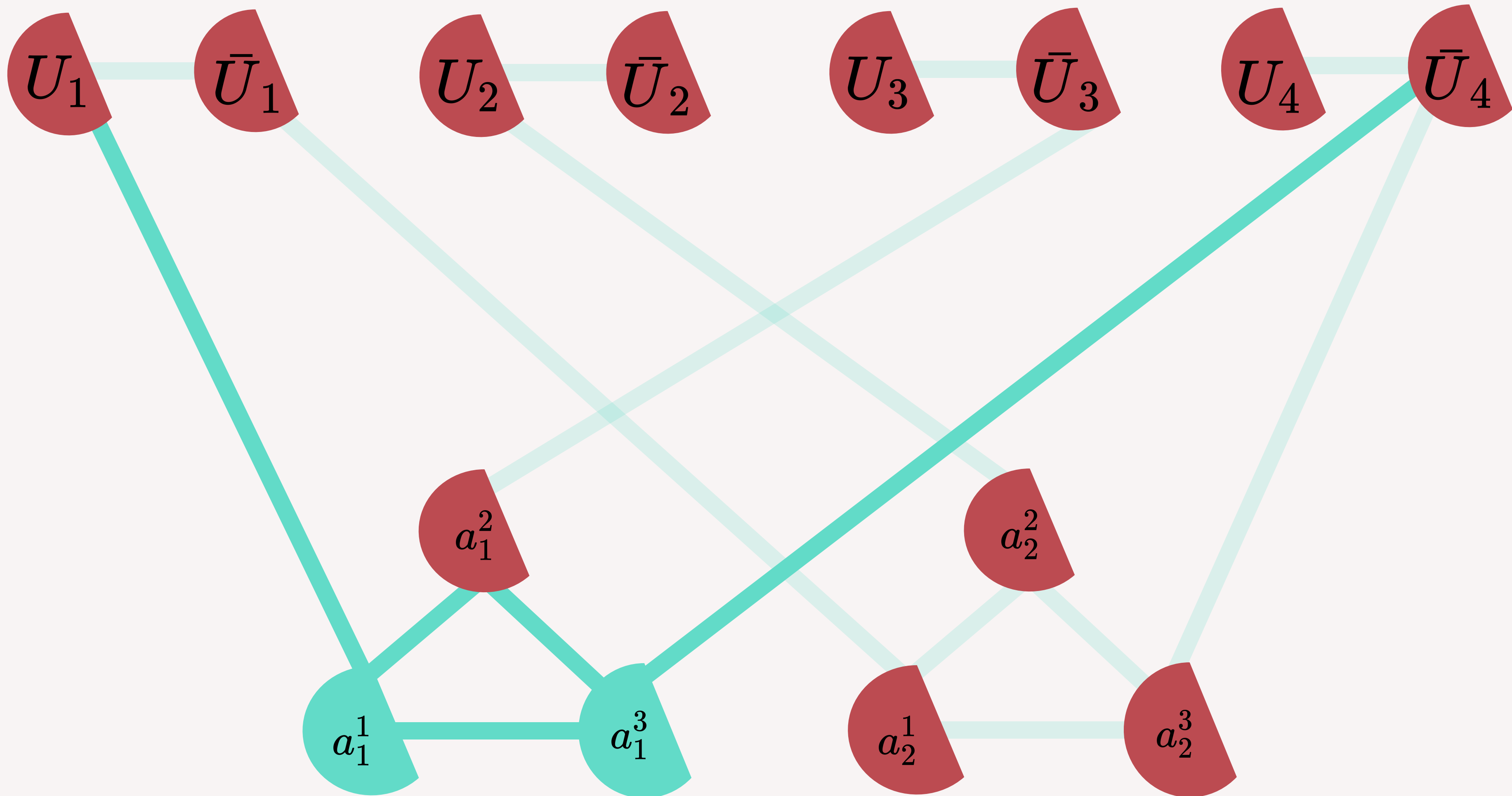


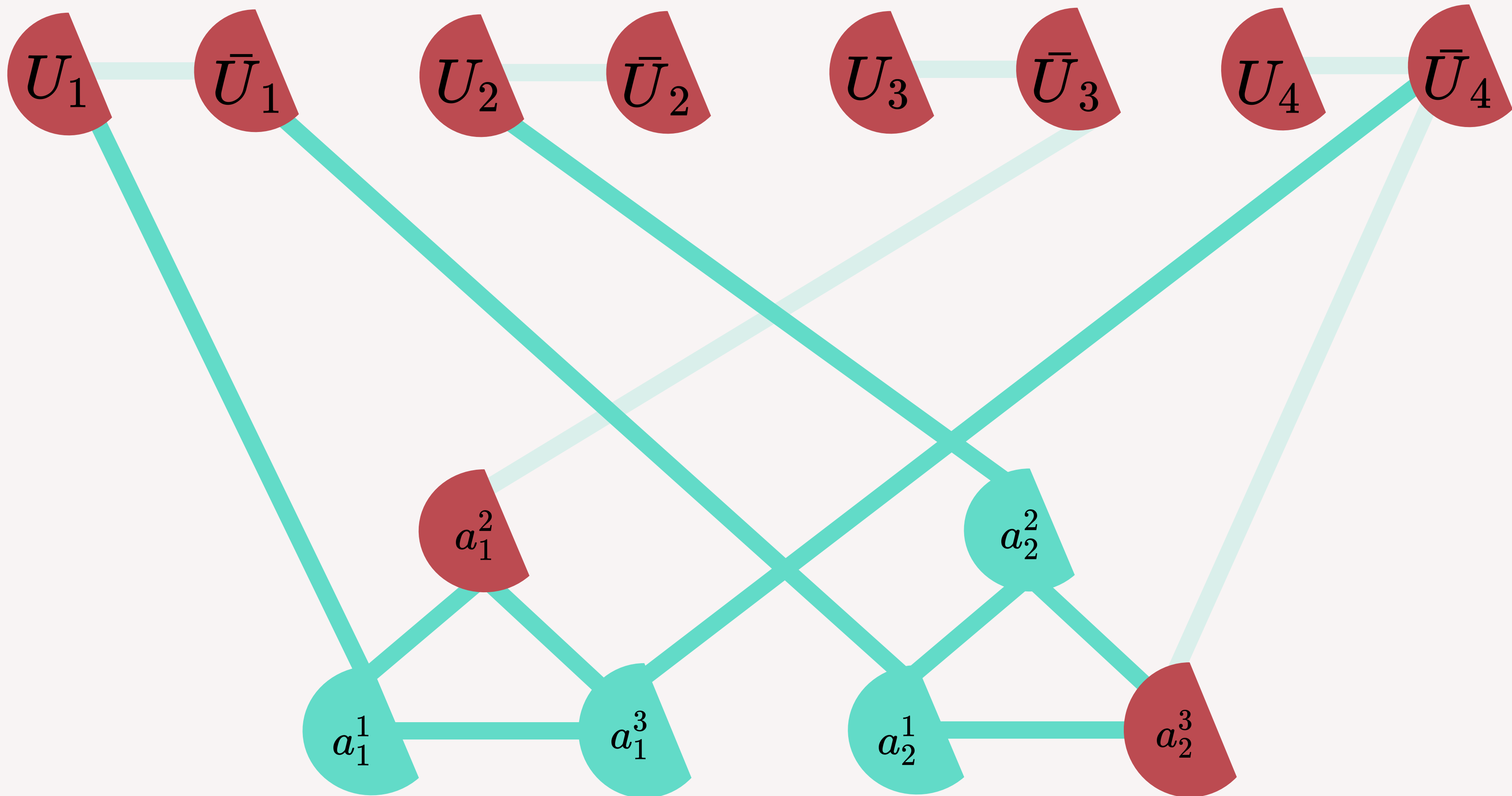


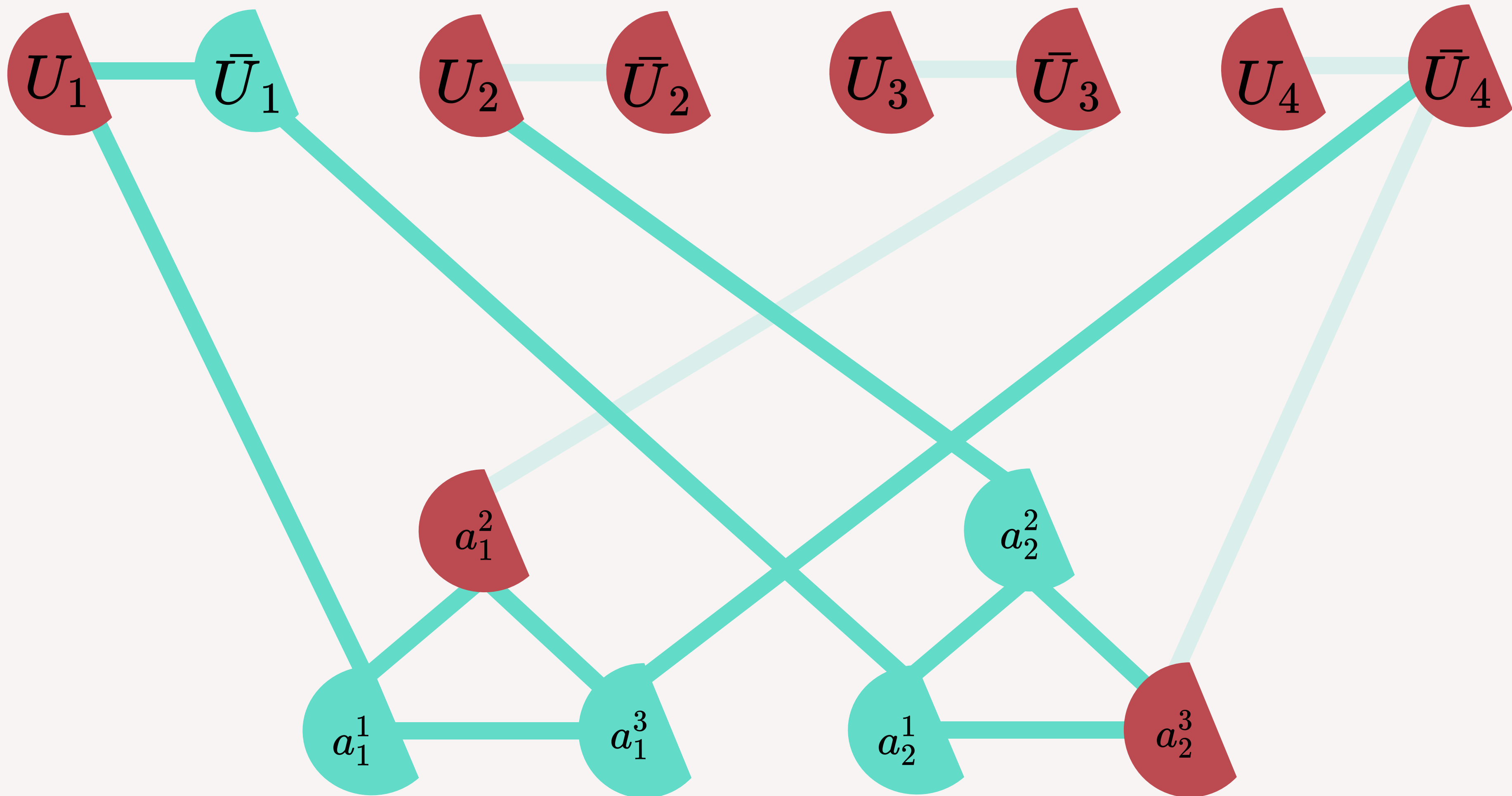


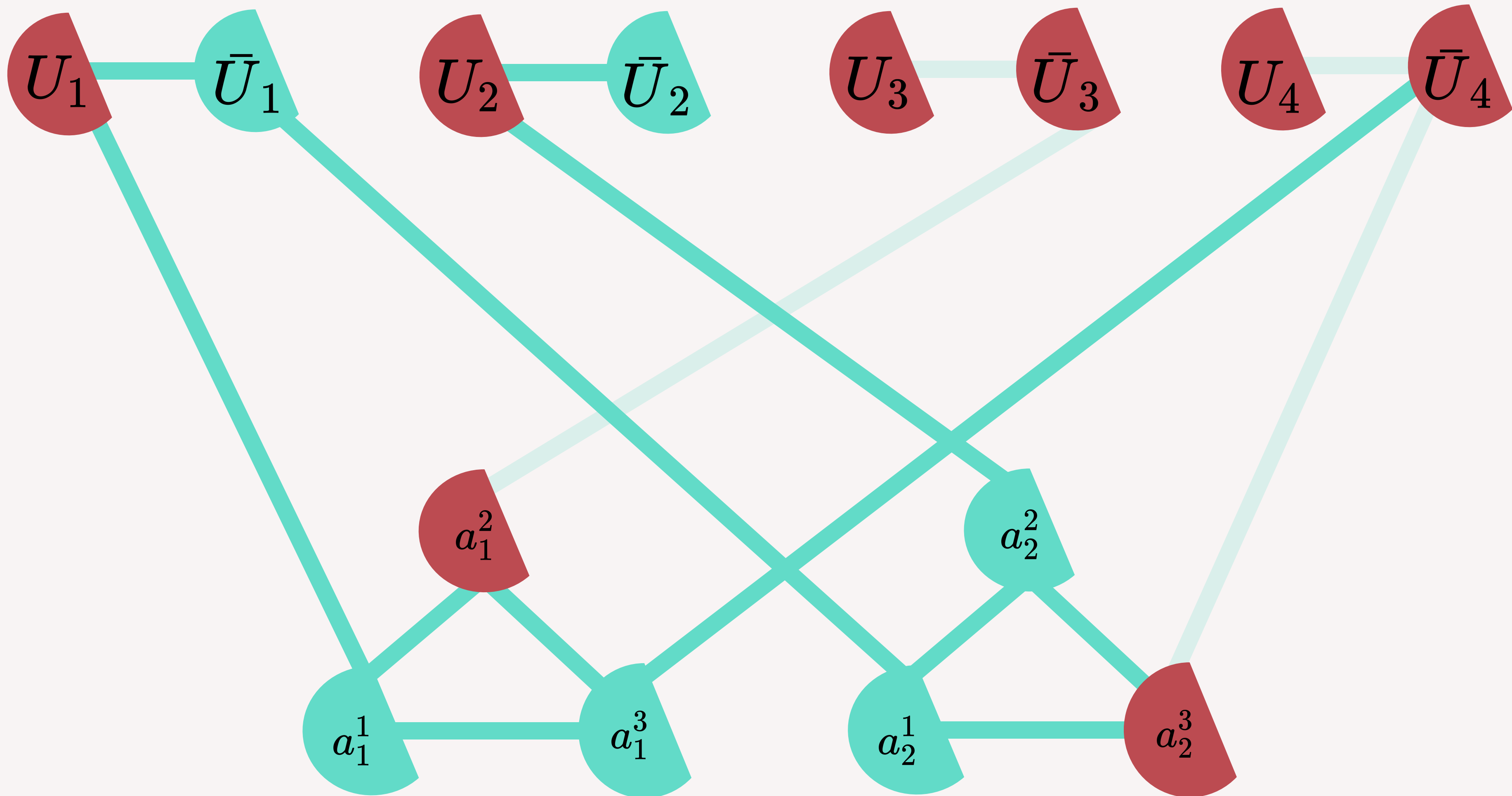


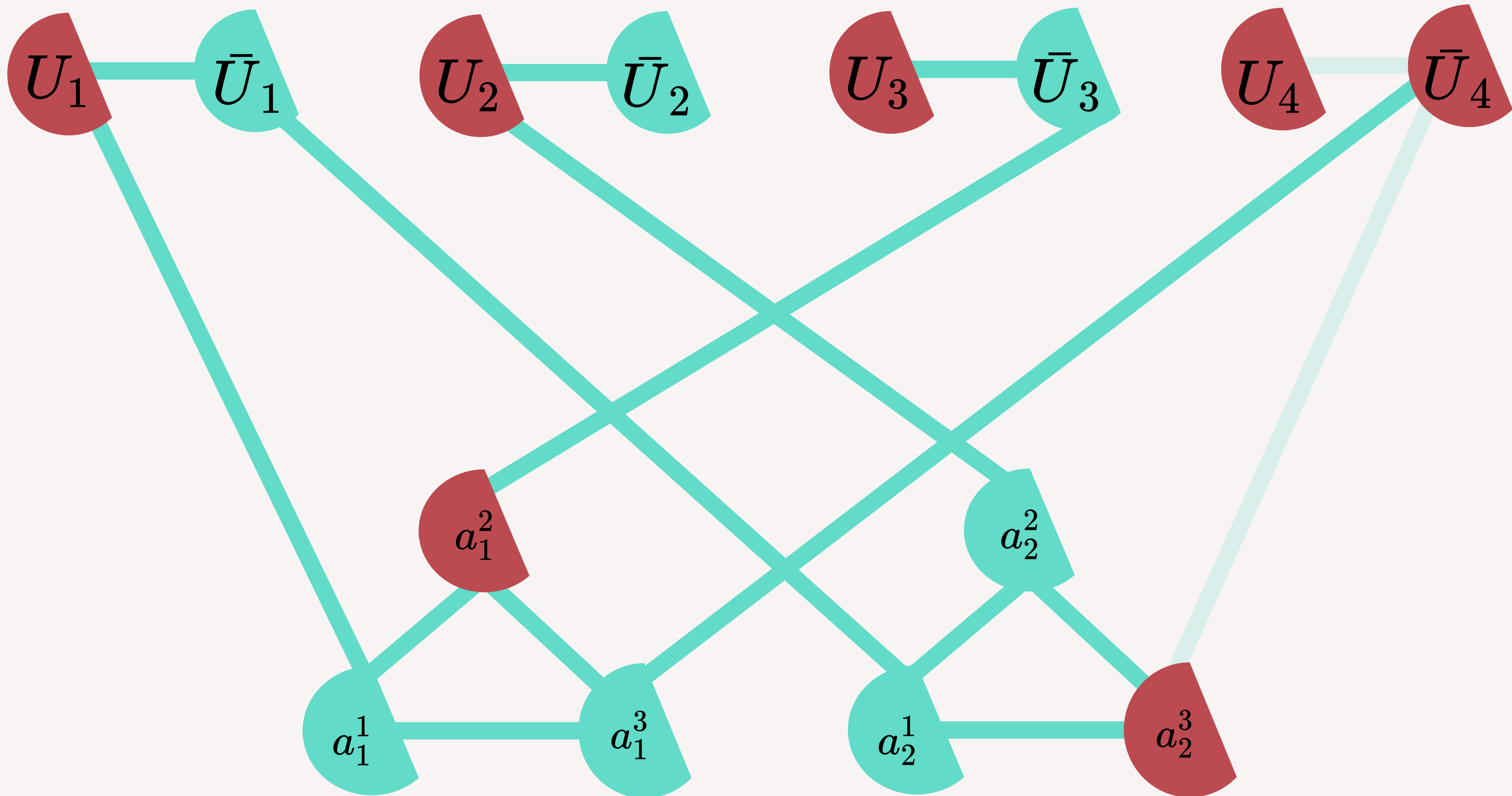


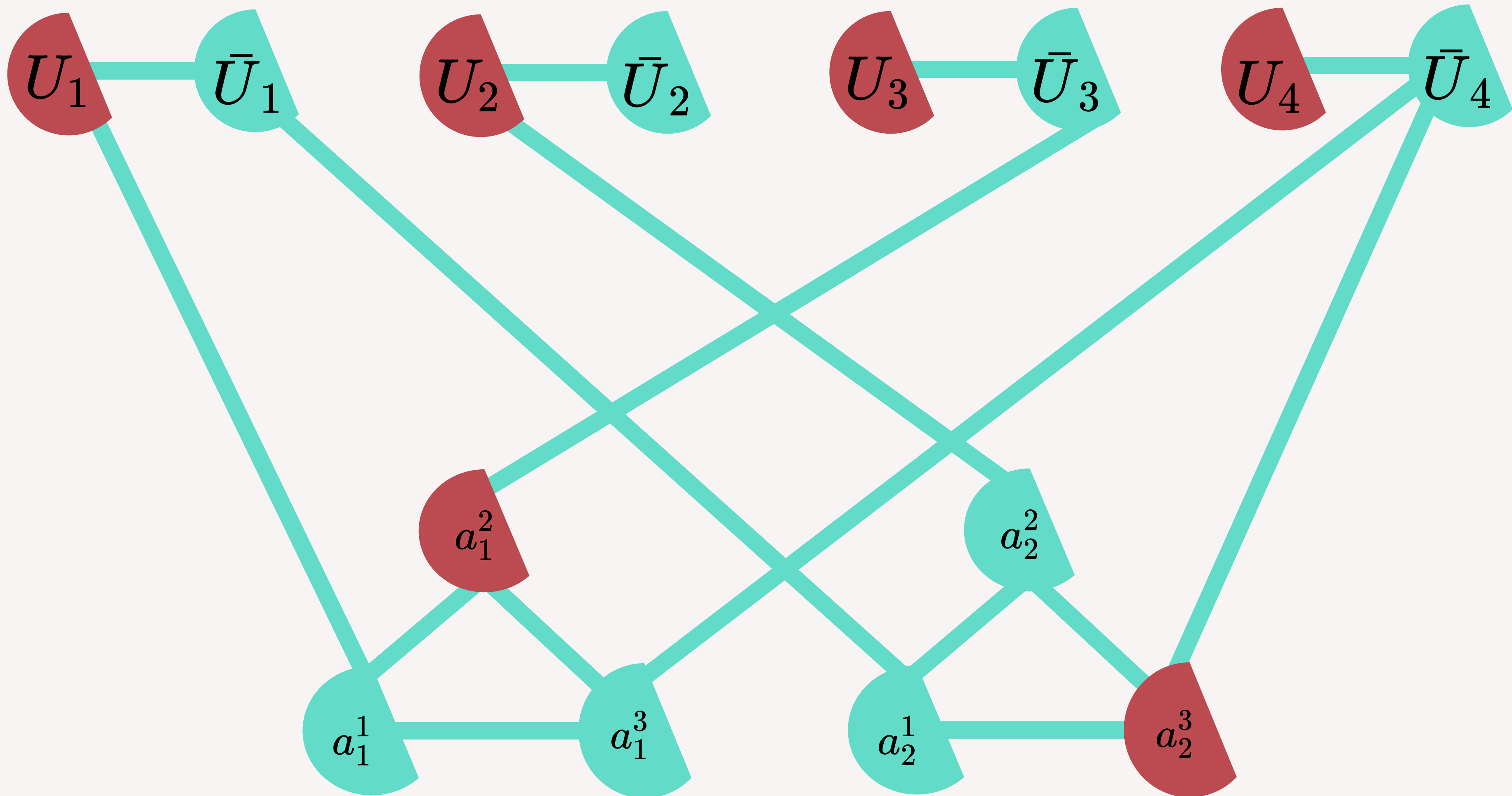


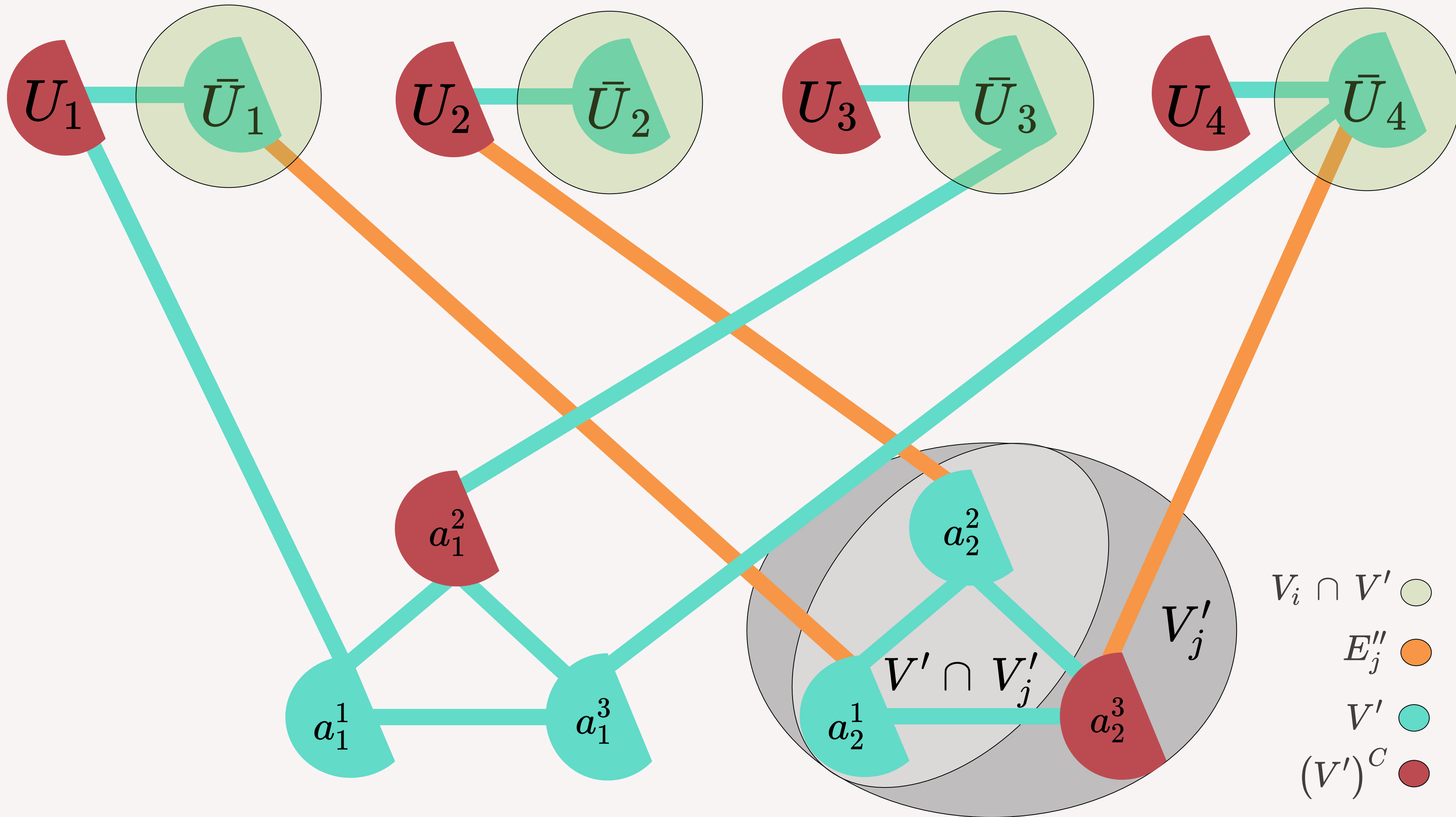






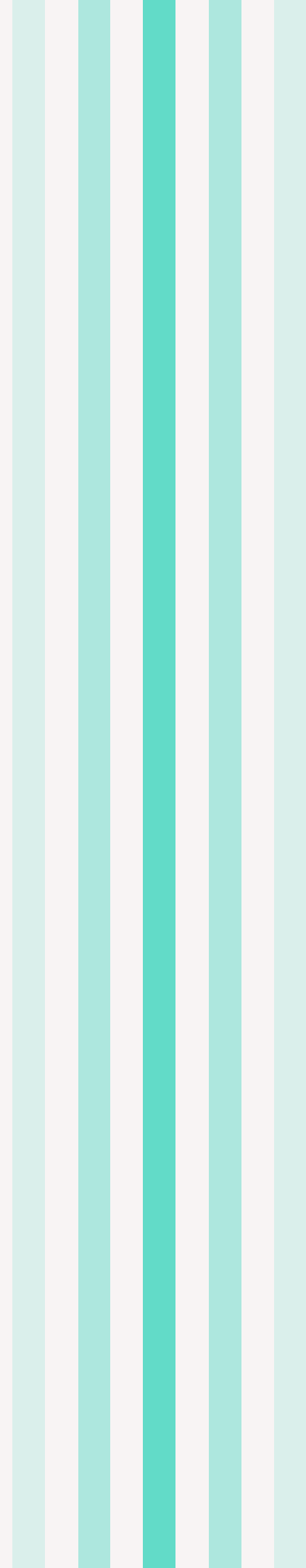






5

BIBLIOGRAFÍA



Bibliografía

Computers and Intractability
A guide to the Theory of NP-Completeness

by Michael R. Garey / David S. Johnson

